

図 3.1.33 夏季におけるポテンシャル水温の南北断面分布 (130°E)

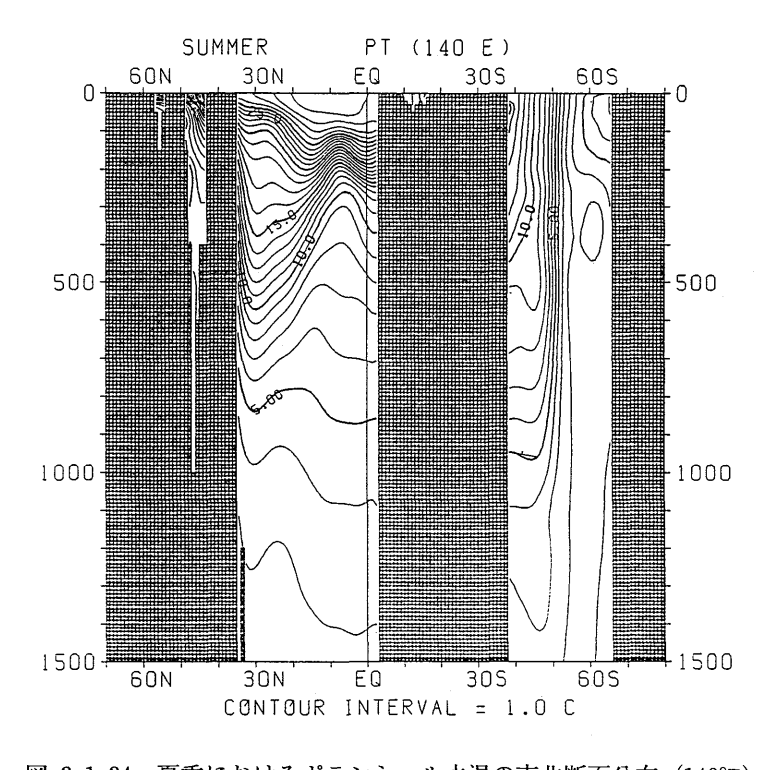


図 3.1.34 夏季におけるポテンシャル水温の南北断面分布 (140°E)

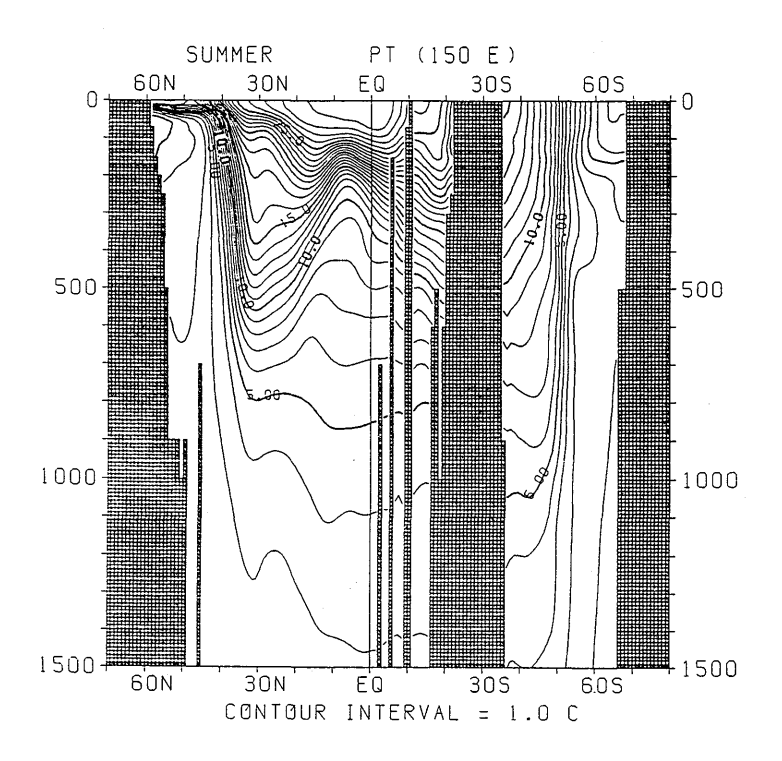


図 3.1.35 夏季におけるポテンシャル水温の南北断面分布 (150°E)

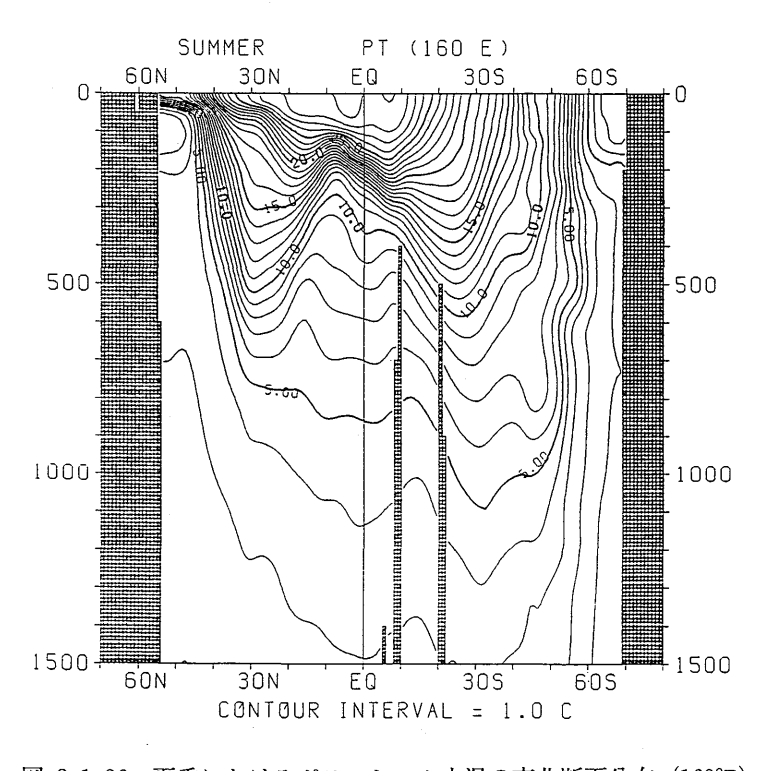


図 3.1.36 夏季におけるポテンシャル水温の南北断面分布 (160°E)

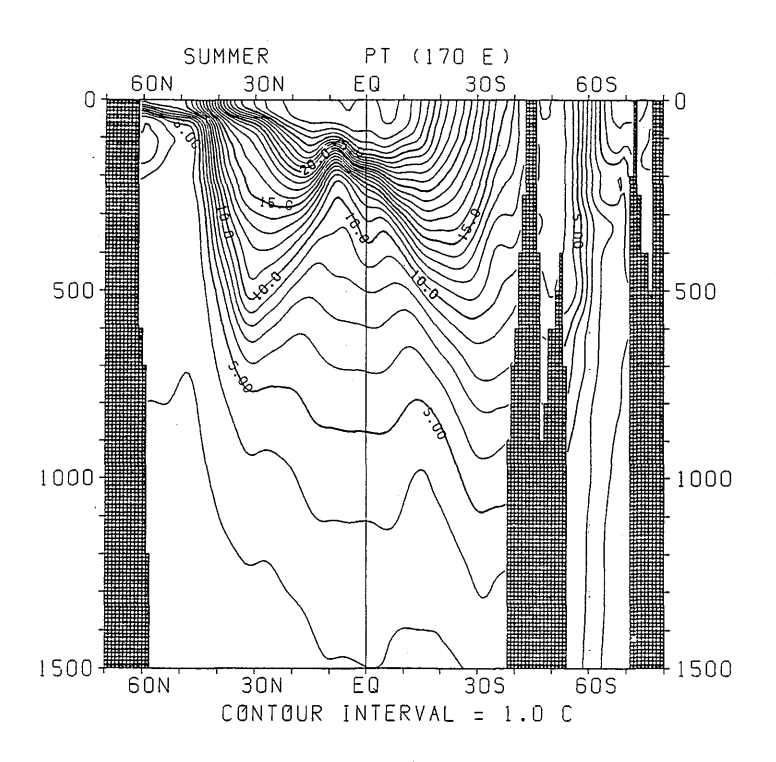


図 3.1.37 夏季におけるポテンシャル水温の南北断面分布 (170°E)

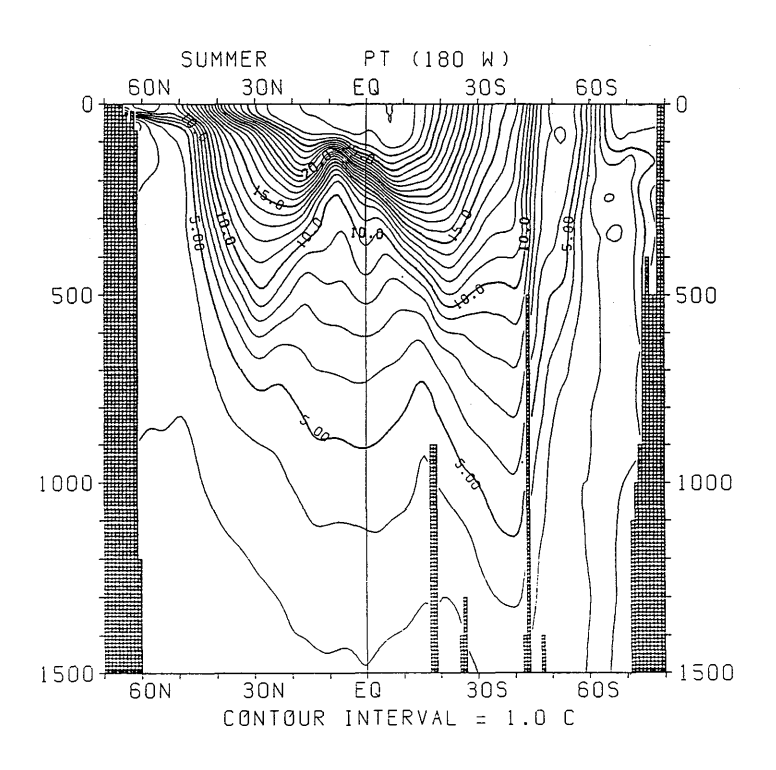


図 3.1.38 夏季におけるポテンシャル水温の南北断面分布 (180°)

気象研究所技術報告 第25号 1989

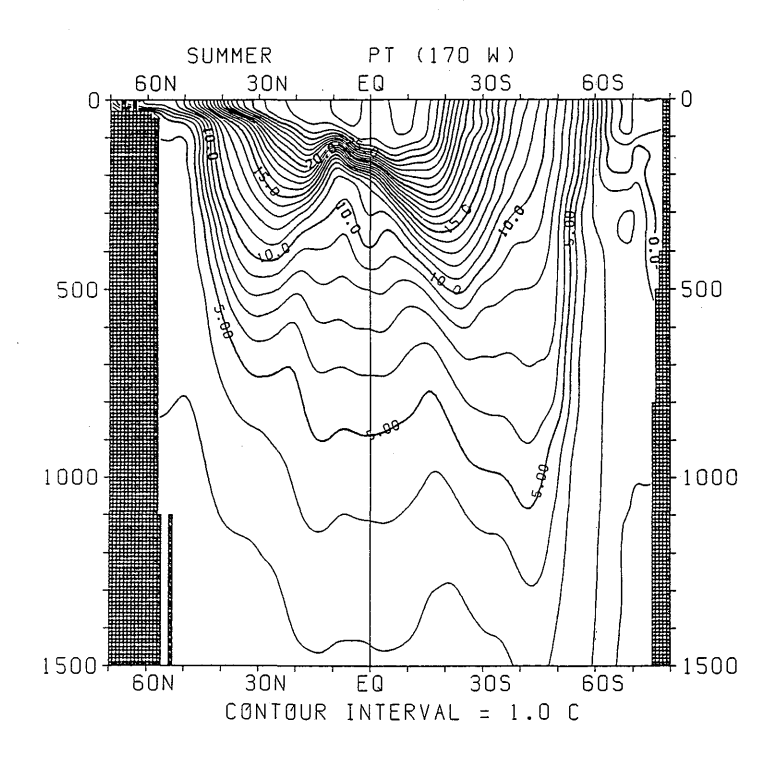


図 3.1.39 夏季におけるポテンシャル水温の南北断面分布 (170°W)

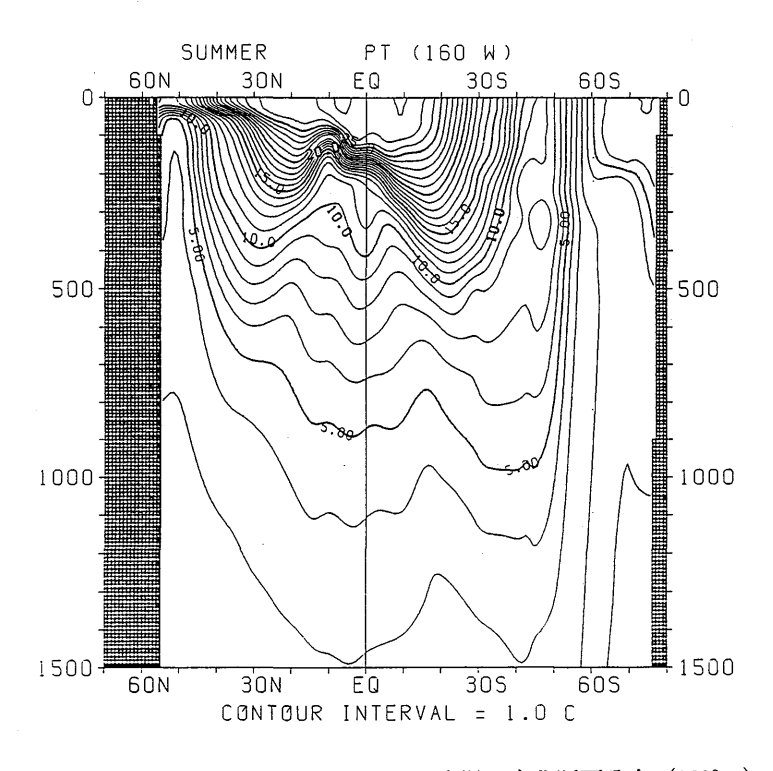


図 3.1.40 夏季におけるポテンシャル水温の南北断面分布 (160°W)

気象研究所技術報告 第25号 1989

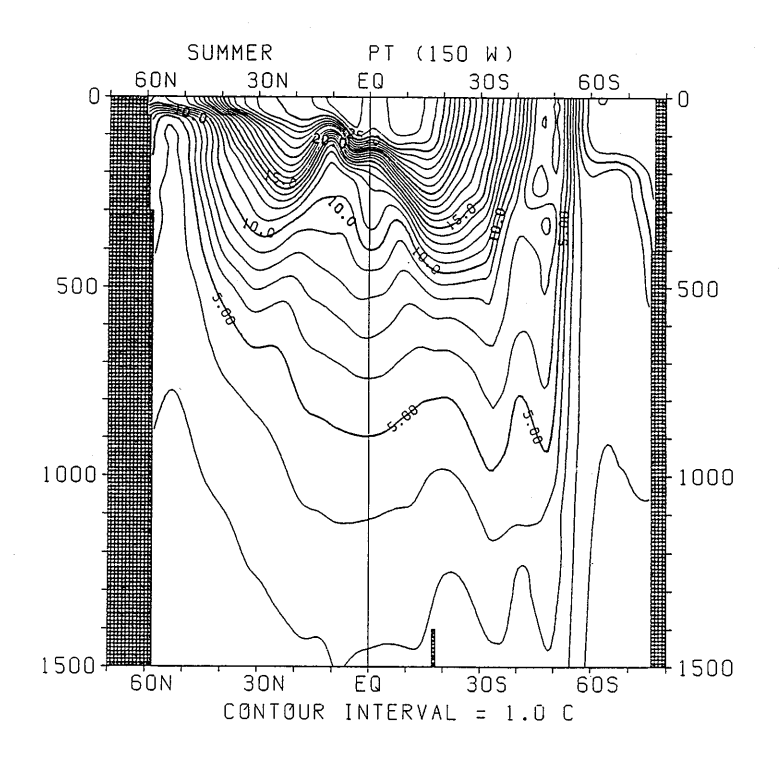


図 3.1.41 夏季におけるポテンシャル水温の南北断面分布 (150°W)

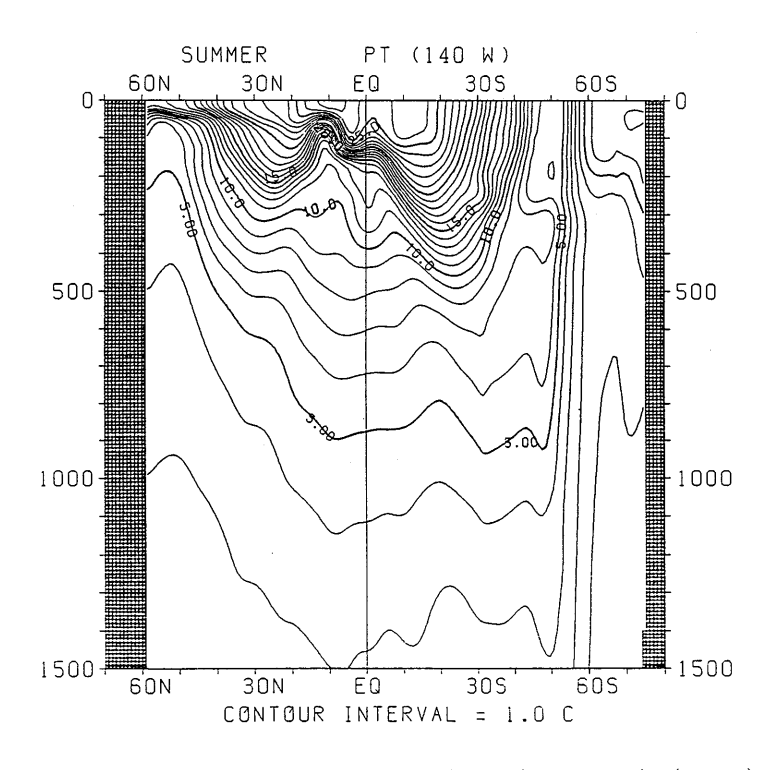


図 3.1.42 夏季におけるポテンシャル水温の南北断面分布 (140°W)

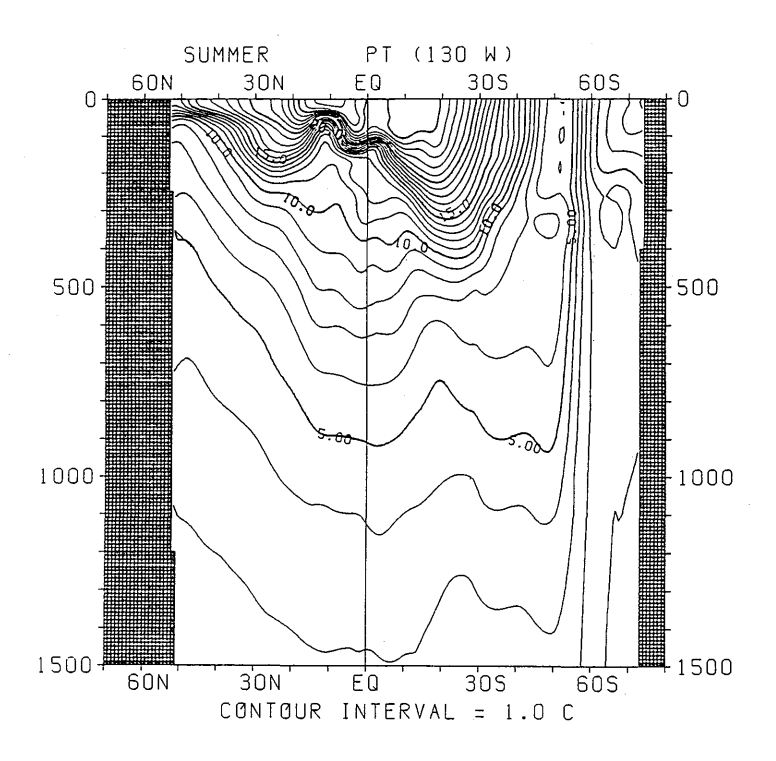


図 3.1.43 夏季におけるポテンシャル水温の南北断面分布 (130°W)

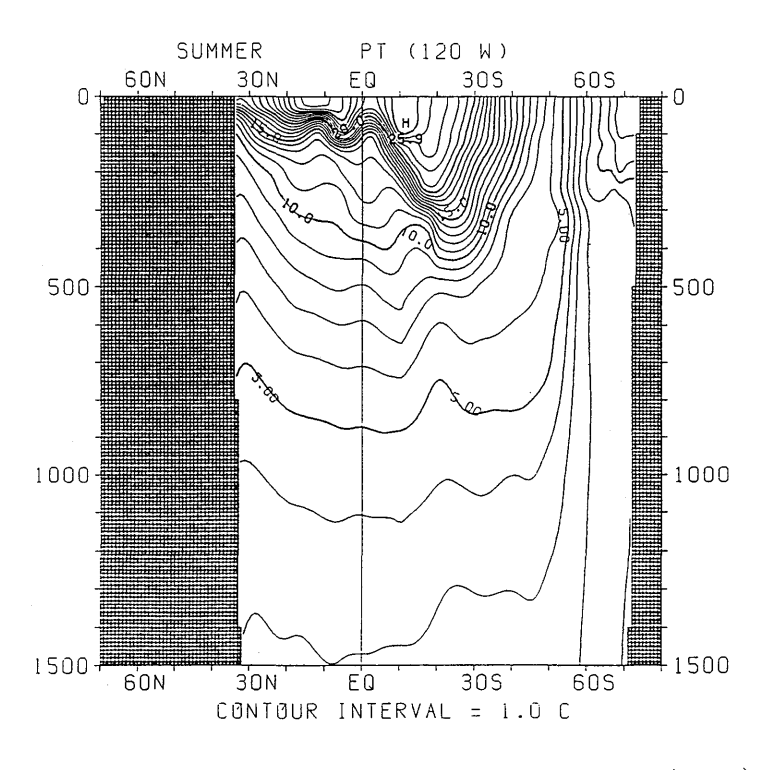


図 3.1.44 夏季におけるポテンシャル水温の南北断面分布 (120°W)

気象研究所技術報告 第25号 1989

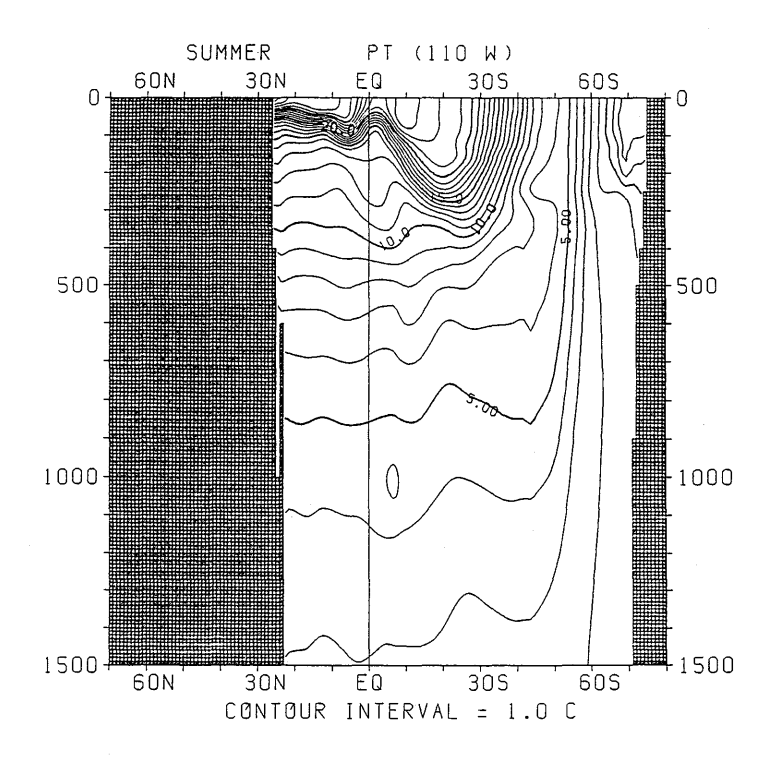


図 3.1.45 夏季におけるポテンシャル水温の南北断面分布 (110°W)

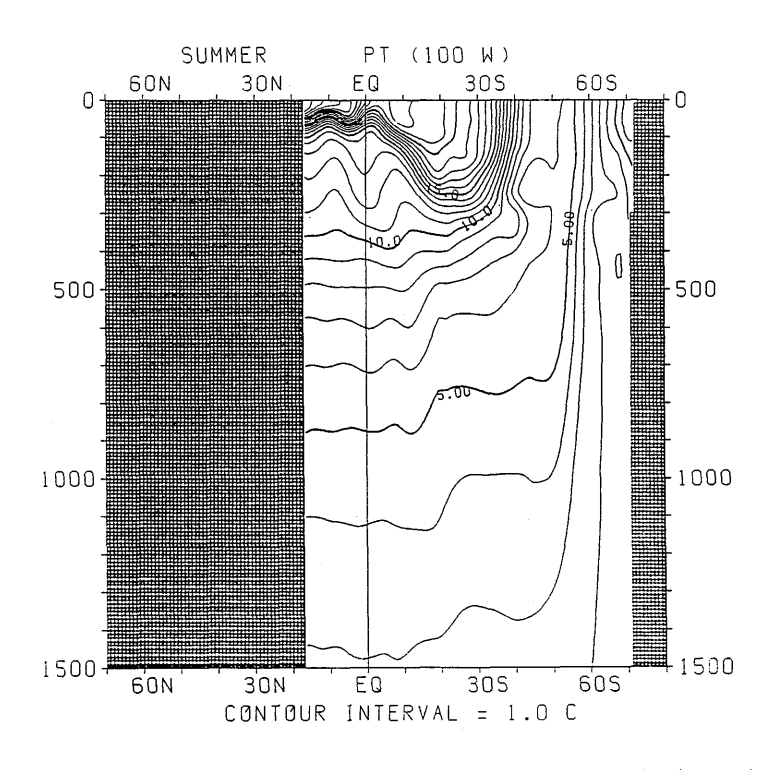


図 3.1.46 夏季におけるポテンシャル水温の南北断面分布 (100°W)

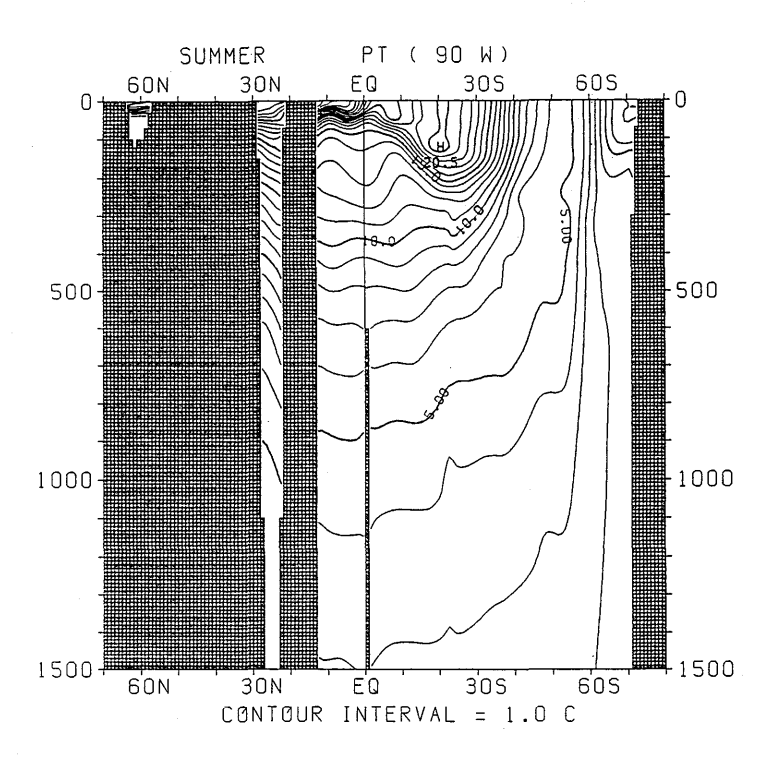


図 3.1.47 夏季におけるポテンシャル水温の南北断面分布 (90°W)

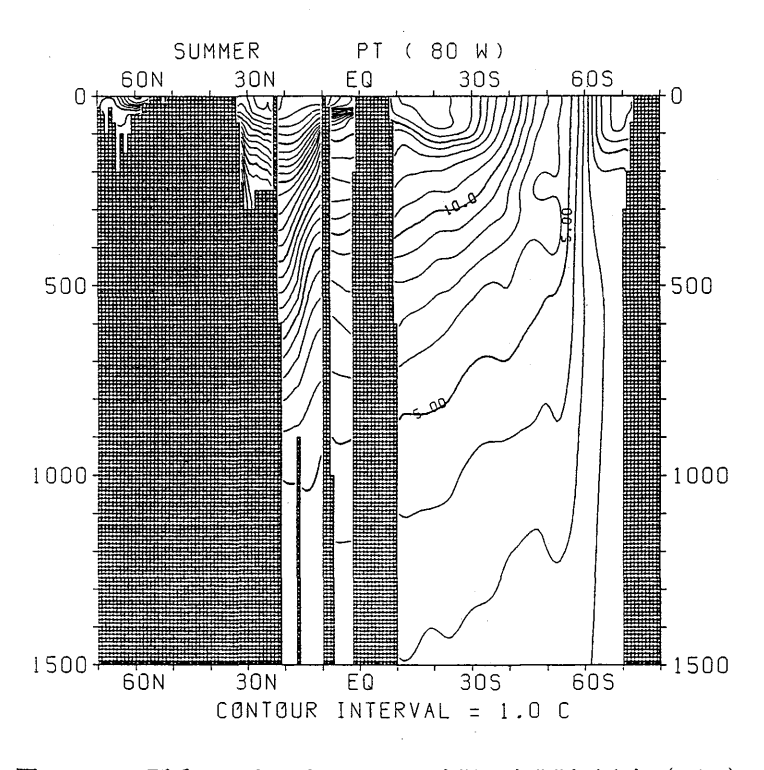


図 3.1.48 夏季におけるポテンシャル水温の南北断面分布 (80°W)